



Jurnal Gradien Vol. 8 No. 1 Januari 2012: 716-721

# Optimasi Tekanan Deposisi dalam Simulasi Efisiensi Sel Surya Berbasis Material a-Si:H

Endhah Purwandari<sup>1\*</sup>, Toto Winata<sup>2</sup>

<sup>1)</sup>Jurusan Fisika FMIPA Universitas Jember <sup>2)</sup> Departemen Fisika ITB \*endhahfisika@gmail.com

Diterima 14 Nov 2011; Disetujui 14 Des 2011

**Abstrak** - Perhitungan efisiensi konversi sel surya tipe persambungan p-i-n dengan berbasis material a-Si:H dilakukan berdasarkan simulasi perhitungan karakteristik I-V dari material. Dalam bentuk 1 dimensi, Persamaan Poisson dan Persamaan Kontinyuitas diselesaikan dengan menggunakan Femlab Simulation. Data empirik  $optical\ band\ gap\ E_g$  pada variasi tekanan deposisi 0-500 mTorr, yang diperoleh dalam penumbuhan a-Si;H menggunakan teknik HWC-VHF-PECVD, menjadi input kegiatan optimasi. Hasil simulasi menunjukkan terjadinya penurunan efisiensi dengan adanya kenaikan  $E_g$ . Efisiensi sel surya tertinggi sebesar 9,88% diperoleh pada tekanan deposisi a-Si:H sebesar 500 mTorr.

Perhitungan efisiensi konversi sel surya tipe persambungan p-i-n dengan berbasis material a-Si:H dilakukan berdasarkan simulasi perhitungan karakteristik I-V dari material. Dalam bentuk 1 dimensi, Persamaan Poisson dan Persamaan Kontinyuitas diselesaikan dengan menggunakan Femlab *Simulation*. Data empirik *optical band gap*  $E_g$  pada variasi tekanan deposisi 0-500 mTorr, yang diperoleh dalam penumbuhan a-Si;H menggunakan teknik HWC-VHF-PECVD, menjadi input kegiatan optimasi. Hasil simulasi menunjukkan terjadinya penurunan efisiensi dengan adanya kenaikan  $E_g$ . Efisiensi sel surya tertinggi sebesar 9,88% diperoleh pada tekanan deposisi a-Si:H sebesar 500 mTorr.

Kata Kunci: simulasi, optimasi, tekanan deposisi, optical band gap, efisiensi, sel surya

## 1. Pendahuluan

Mekanisme konversi fotovoltaik sel surya secara teoretik dapat dijelaskan menggunakan persamaan Poisson dan persamaan kontinyuitas. Berdasarkan kedua persamaan tersebut, efek ketebalan lapisan i pada kinerja sel surya dengan jenis persambungan p-i-n dari material berbasis a-Si:H telah dapat diprediksikan secara simulasi menggunakan Femlab [1]. Dengan menggunakan program AMPS 1D, untuk tipe persambungan yang sama, telah diinvestigasi efek *optical band gap*  $E_g$  material a-SiC:H, yang digunakan sebagai *window layer* dari sel surya [2]. Besarnya efesiensi sel surya turut dipengaruhi oleh rapat keadaan terlokalisasi pada lapisan i dalam persambungan p-i-n [3].

Adanya nilai  $E_g$  yang cukup kecil memungkinkan sebuah material mampu menghasilkan fenomena fotovoltaik pada rentang spektrum cahaya datang yang cukup lebar. Karakteristik yang demikian dapat digunakan untuk menilai kelayakan sebuah material yang diaplikasikan

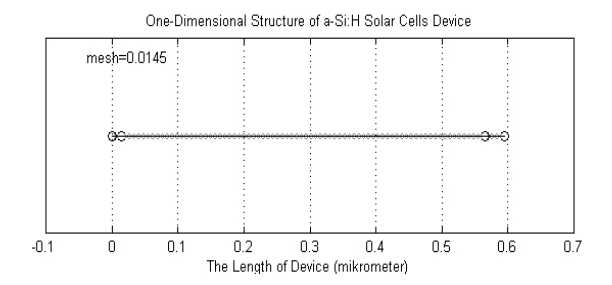
sebagai material sel surya [4]. Dengan menganalisa efek kebergantungan efisiensi sel surya terhadap nilai  $E_g$ ,

maka dapat dilakukan sebuah optimasi terhadap parameter penumbuhan material yang diaplikasikan untuk divais tersebut. Di dalam penelitian ini, disimulasikan perhitungan efisiensi sel surya untuk sebuah rentang  $E_g$  dari material a-Si:H, yang didapatkan pada deposisi a-Si:H menggunakan teknik HWC-VHF-PECVD untuk variasi tekanan 100-500 mTorr [1].

Variasi  $E_g$  diaplikasikan hanya pada lapisan i dengan asumsi bahwa tinjauan terhadap efek penyerapan cahaya terhadap kinerja sel surya terutama dipengaruhi oleh aktivitas penyerapan pada lapisan ini. Pemodelan geometri dari divais sel surya beserta penyelesaian persamaan Poisson dan persamaan Kontinyuitas dilakukan dengan menggunakan software FEMLAB. Solusi distribusi pembawa muatan yang didapatkan, digunakan untuk menghitung karakteristik I-V dari divais, sehingga diperoleh hasil perhitungan efisiensi dari sel surya tipe p-i-n. Estimasi terhadap tekanan deposisi optimum dari material nantinya dapat diperoleh berdasarkan perhitungan efisiensi tertinggi yang didapatkan.

### 2 Metode Simulasi

Pembuatan geometri dari divais sel surya mengawali simulasi perhitungan efisiensi. Model berupa persambungan tunggal lapisan p-i-n dalam bentuk satu dimensi mendefinisikan struktur divais sel surya yang tersusun atas lapisan a-SiC:H/a-Si:H/a-Si:H dengan ketebalan lapisan berturut-turut adalah 0.0150  $\mu$ m, 0.5500  $\mu$ m and 0.0300  $\mu$ m [1]. Dengan menggunakan Femlab, geometri satu dimensi dari divais ditunjukkan pada Gambar 1.



Gambar 1. Struktur 1D divais sel surya dengan persambungan tunggal p-i-n tersusun atas lapisan a-SiC:H/a-Si:H/a-Si:H dengan ketebalan lapisan berturut-turut 0.0150 μm, 0.5500 μm and 0.0300 μm.

Diistribusi pembawa muatan dalam divais sel surya diperoleh dengan menyelesaikan Persamaan Poisson dan Persamaan Kontinyuitas. Perhitungan terhadap pembawa muatan pada daerah terlokalisasi menyebabkan Persamaan Poisson termodifikasi menjadi persamaan (1)[1],

Struktur Divais Sel Surya Berbasis a-Si:H dalam 1 Dimensi

$$\begin{split} &\frac{\epsilon}{q} \; \nabla^2 \psi = -p + n - N_D + N_A \\ &- g_{Dmin} \; E_D \left[ \exp \left( \frac{E_{mc} - E_C}{E_D} \right) \left\{ 1 - \left( \frac{2e^{-\psi}v + ce^{\psi}u}{e^{-\psi}v + ce^{\psi}u} \right) \left( \frac{n_i e^{-\psi}v + cn_i e^{\psi}u}{cN_C} \right)^{-\frac{kT}{E_A}} \right\} \\ &+ \exp \left( \frac{E_{mc} - E_C}{E_D} \right) \left\{ \left( \frac{e^{-\psi}v}{e^{-\psi}v + ce^{\psi}u} \right) \left( \frac{n_i e^{-\psi}v + cn_i e^{\psi}u}{N_V} \right)^{\frac{kT}{E_D}} \right\} \right] \\ &+ g_{Amin} \; E_A \; \left[ \exp \left( \frac{E_V - E_{mc}}{E_A} \right) \left\{ \left( \frac{ce^{-\psi}v}{ce^{-\psi}v + e^{\psi}u} \right) \left( \frac{n_i ce^{-\psi}v + n_i e^{\psi}u}{cN_V} \right)^{-\frac{kT}{E_A}} - 1 \right\} \right. \\ &+ \exp \left( \frac{E_V - E_{mc}}{E_A} \right) \left\{ \left( \frac{e^{-\psi}v}{ce^{-\psi}v + e^{\psi}u} \right) \left( \frac{n_i ce^{-\psi}v + n_i e^{\psi}u}{N_C} \right)^{\frac{kT}{E_A}} \right\} \right] \end{split}$$

Hal yang sama berlaku pula untuk Persamaan Kontinyuitas seperti yang ditunjukkan pada persamaan (2) untuk distribusi elektron dan persamaan (3) untuk distribusi *hole* [1].

$$\begin{split} -\nabla \left(\mu_{n} \, n_{i} \, e^{\psi} u \, \nabla \psi \, + \, D_{n} \, n_{i} \, e^{\psi} u \, \nabla u \, \right) &= \frac{G_{0} \, \alpha(\lambda)}{1 - P} \, \left(e^{-\alpha x} + \, Pe^{\alpha x}\right) \\ &- n_{i} (uv - 1) c \, v \, \sigma_{N} \left[ \left(\frac{g_{Amin} \, E_{A}}{(e^{\psi} u + ce^{-\psi} v)}\right) \left\{ \exp \left(\frac{E_{C} - E_{mc}}{E_{A}}\right) \left(\frac{n_{i} \left(e^{\psi} u + ce^{-\psi} v\right)}{N_{C}}\right)^{\frac{kT}{E_{A}}} \right\} \\ &- \exp \left(\frac{E_{V} - E_{mc}}{E_{A}}\right) \left(\frac{n_{i} \left(e^{\psi} u + e^{-\psi} v\right)}{cN_{V}}\right)^{-\frac{kT}{E_{A}}} \right\} \\ &+ \frac{g_{Dmin} E_{D}}{(ce^{\psi} u + e^{-\psi} v)} \left\{ \exp \left(\frac{E_{mc} - E_{C}}{E_{D}}\right) \left(\frac{n_{i} \left(ce^{\psi} u + e^{-\psi} v\right)}{N_{V}}\right)^{\frac{kT}{E_{D}}} \right\} \\ &- \exp \left(\frac{E_{mc} - E_{V}}{E_{D}}\right) \left(\frac{n_{i} \left(ce^{\psi} u + e^{-\psi} v\right)}{cN_{C}}\right)^{-\frac{kT}{E_{D}}} \right\} \\ &- n_{i} \left(uv - 1\right) c \, v \, \sigma_{N} \left[ \left(\frac{g_{Amin} \, E_{A}}{\left(e^{\psi} u + ce^{-\psi} v\right)}\right) \left\{ \exp \left(\frac{E_{C} - E_{mc}}{E_{A}}\right) \left(\frac{n_{i} \left(e^{\psi} u + ce^{-\psi} v\right)}{N_{C}}\right)^{\frac{kT}{E_{A}}} \right\} \\ &- \exp \left(\frac{E_{V} - E_{mc}}{E_{A}}\right) \left(\frac{n_{i} \left(e^{\psi} u + ce^{-\psi} v\right)}{cN_{V}}\right)^{-\frac{kT}{E_{A}}} \right\} \\ &+ \frac{g_{Dmin} E_{D}}{\left(ce^{\psi} u + e^{-\psi} v\right)} \left\{ \exp \left(\frac{E_{mc} - E_{C}}{E_{D}}\right) \left(\frac{n_{i} \left(ce^{\psi} u + e^{-\psi} v\right)}{N_{V}}\right)^{\frac{kT}{E_{D}}} \right\} \end{aligned}$$

$$- \exp \left(\frac{E_{mc} - E_{V}}{E_{D}}\right) \left(\frac{n_{i} \left(ce^{\psi} u + e^{-\psi} v\right)}{cN_{C}}\right)^{-\frac{kT}{E_{D}}} \right\}$$

$$- \exp \left(\frac{E_{mc} - E_{V}}{E_{D}}\right) \left(\frac{n_{i} \left(ce^{\psi} u + e^{-\psi} v\right)}{cN_{C}}\right)^{-\frac{kT}{E_{D}}}} \right\}$$

$$(3)$$

Seluruh parameter fisis yang digunakan sebagai input pada persamaan (1), (2) dan (3) diberikan pada Tabel 1. Konsentrasi hole p dan elektron n dihitung berdasarkan persamaan (4) [5].

$$n = n_i e^{\psi} u \quad , \qquad p = n_i e^{-\psi} v \tag{4}$$

Parameter u dan v merupakan variabel yang didefinisikan untuk menyelesaikan kedua persamaan di atas dalam bahasa FEMLAB. Sementara itu ketebalan lapisan x dihitung dari batas persambungan lapisan p dan p dan p dengan rangkaian eksternal. Analisis persamaan transport muatan dibawah pengaruh p dilakukan dengan mensubstitusi persamaan p (5) pada persamaan p (1), (2) dan (3).

$$E_C = E_g + E_V \tag{5}$$

. ,	
Parameter	Nilai
Permitivitas material (€)	11.8 F/cm [6]
Temperatur operasional ( <i>T</i> )	300 K [1]
Fluks foton datang ( <b>G</b> <sub>0</sub> )	10 <sup>17</sup> cm <sup>-2</sup> s <sup>-1</sup> [1]
Faktor transmisi cahaya	0.71 [1]
material (P)	0.71 [1]
Koefisien penyerapan	22222 (cm <sup>-1</sup> ) [7]
cahaya a-Si (α)	22222 (CIII ) [7]
Konsentrasi pembawa	$6.019 \times 10^{10} \text{ cm}^{-3} [1]$
intrinsik $(n_i)$	0.017 x 10 Cm [1]
Konsentrasi donor	$8.8 \times 10^{17} \text{ cm}^{-3}$
terionisasi $(N_D)$	0.0 X 10 Cm
Konsentrasi aksepor	$1 \times 10^{17} \text{ cm}^{-3} [1]$
terionisasi $(N_A)$	
Difusivitas elektron $(D_n)$	40 cm <sup>2</sup> /s [1]
Difusivitas hole $(D_p)$	$4 \text{ cm}^2/\text{s} [1]$
Rasio antara perangkap	
yang bermuatan dengan	50
perangkap netral (c)	
Penampang penangkapan	11 3 1
muatan pada kecepatan	10 <sup>-11</sup> cm <sup>-3</sup> s <sup>-1</sup> [1]
thermal $(v_{th}\sigma_N)$	
Rapat keadaan energi	5 1015 -3 T7-1 F47
menyerupai donor dan	$5x10^{15} \text{ cm}^{-3} \text{ eV}^{-1} [4]$
$\frac{\text{akseptor } (g_{Dmin} = g_{Amin})}{\cdot}$	
Keadaan energi	0.000 -17.[1]
terlokalisasi untuk tipe	0.088 eV [1]
$donor(E_D)$	
Keadaan energi terlokalisasi untuk tipe	0.053 eV [1]
_	0.033 6 V [1]
akseptor ( $E_A$ ) Beda energi antara	
kerapatan energi minimum	
dengan batas atas pita	0.65 eV [1]
konduksi ( $E_{mc}$ )	
Optical Band Gap lapisan p	
$(E_g)$	2.36 eV [8]
Optical Band Gap lapisan i	(1.0050 1.500) 33
$(E_g)$	(1.8050 - 1.700)  eV
Optical Band Gap lapisan n	1 7 37 543
$(E_g)$	1.7 eV [4]
Energi pada pita valensi	0.15 -W
$(E_{\nu})$	0.15 eV
Mesh	0.00145
1	-

Terdapat 4 daerah persambungan yang memerlukan definisi khusus dalam perhitungan potensial elektrostatis dan pembawa muatan. Pada daerah persambungan divais

dengan logam (rangkaian eksternal), yaitu bagian luar p dan n, potensial elektrostatik ditentukan dengan memperhitungkan faktor besarnya konsentrasi pembawa muatan dengan tegangan luar  $V_A$  menurut persamaan (6) [5],

$$\psi = V_A + \frac{kT}{q} \ln \left[ \frac{1}{n_i} \left\{ \frac{N}{2} + \left( \frac{N^2}{4} + n_i^2 \right)^{\frac{1}{2}} \right\} \right]^{\frac{1}{2}},$$

sedangkan konsentrasi pembawa muatan masing-masing adalah

$$n = \frac{N}{2} + \left(\frac{N^2}{4} + n_i^2\right)^{\frac{1}{2}}$$
,  $p = -\frac{N}{2} + \left(\frac{N^2}{4} + n_i^2\right)^{\frac{1}{2}}$ . (7)

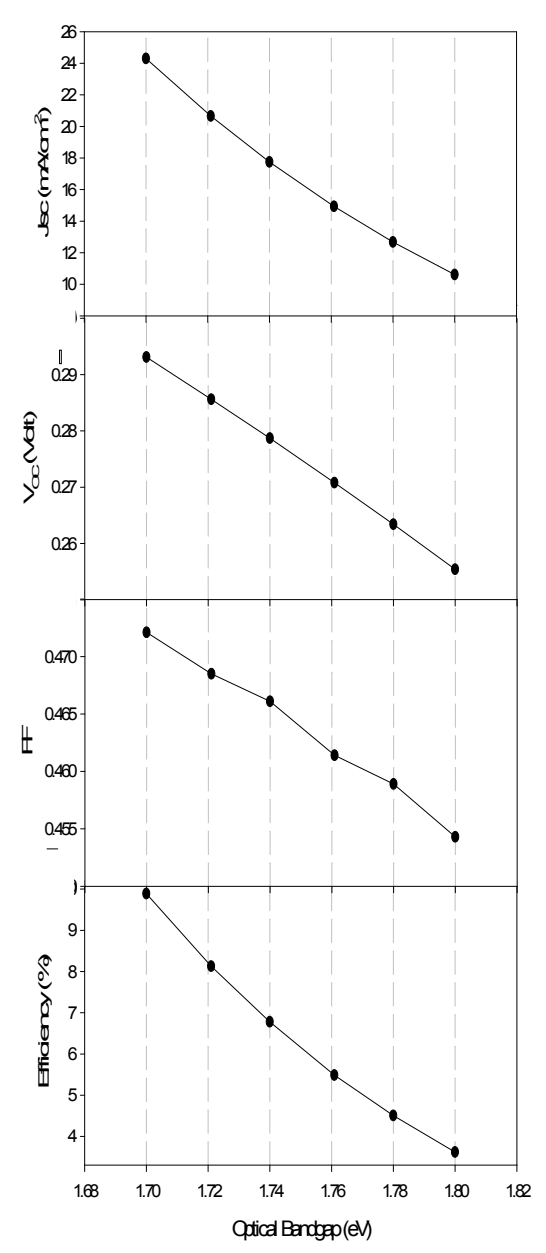
Untuk daerah permukaan yang tidak berhubungan dengan kontak logam didefinisikan oleh

$$\hat{n} \cdot \xi = 0$$
,  $\hat{n} \cdot J_n = 0$ ,  $\hat{n} \cdot J_p = 0$ 

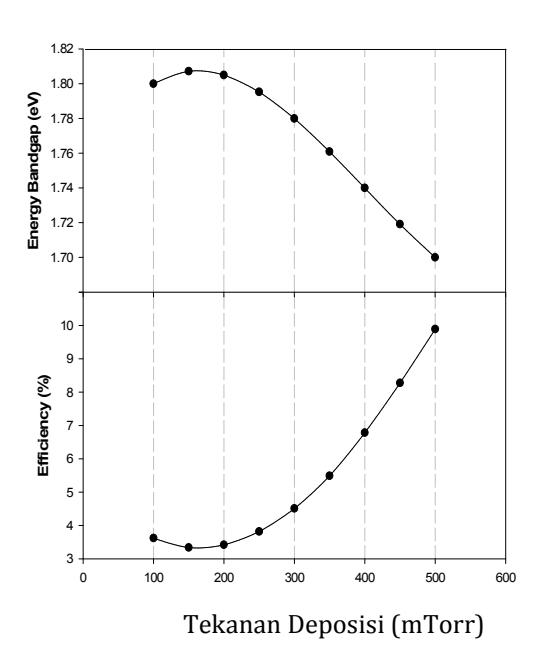
dengan n merupakan vektor normal permukaan.

# 3. Hasil dan Pembahasan

Hasil simulasi menunjukkan bahwasanya rapat arus hubung singkat  $J_{sc}$ , tegangan  $V_{oc}$  dan fill factor FF menurun seiring dengan meningkatnya optical band gap  $(E_{\sigma})$  material. Hal ini menjadi faktor menurunnya hasil perhitungan efisiensi sel surya (Gambar 2). Secara teoretis, peningkatan  $E_g$  akan memperkecil rentang frekuensi cahaya datang yang dapat menghasilkan efek fotovoltaik pada lapisan i. Dengan demikian kenaikan  $E_g$ menjadi indikasi terjadinya penurunan photoconductivity dan photosensitivity dari material. Hasil simulasi ini bersesuaian dengan penelitian Kabir yang menunjukkan adanya penurunan efisiensi sel surya pada kenaikan nilai  $E_g$  tertentu [2].



Gambar 2. Karakteristik rapat arus hubung singkat Jsc, tegangan rangkaian terbuka Voc, *Fill Factor* FF and efisiensi di bawah variasi *optical band gap*.



Gambar 3. Hubungan kebergantungan efisiensi sel surya dengan nilai *optical band gap* di bawah variasi tekanan deposisi material a-Si;H.

Penentuan tekanan deposisi optimum dapat dianalisa berdasarkan grafik kebergantungan efisiensi sel surya pada parameter tekanan deposisi material a-Si;H (Gambar 3). Dengan menggunakan data  $E_g$  dari material pada variasi tekanan 100-500 mTorr, didapatkan bahwa efisiensi tertinggi hasil simulasi, sebesar 9.88%, berada pada tekanan 500 mTorr.

#### 4. Kesimpulan

Simulasi mekanisme konversi fotovoltaik dari divais sel surya material a-Si:H dalam satu dimensi dilakukan dengan meninjau pengaruh *optical band gap* material pada lapisan i terhadap perhitungan efisiensi sel surya. Hasil simulasi menunjukkan adanya penurunan efisiensi saat  $E_g$  meningkat. Berdasarkan hubungan empirik antara tekanan deposisi material, pada interval 100-500 mTorr, dengan nilai  $E_g$ , didapatkan bahwasanya nilai optimum untuk menghasilkan efisiensi tertinggi sebesar 9,88% adalah 500 mTorr. Investigasi kinerja sel surya untuk sistem *multijunction* dengan menggunakan Femlab perlu dilakukan untuk melihat kesesuaian program ketika diaplikasikan pada sistem yang lebih kompleks.

## Daftar Pustaka

- Usman, I., 2006, Penumbuhan Lapisan Tipis Silikon Amorf Terhidrogenasi Dengan Teknik HWC-VHF-PECVD dan Aplikasinya Pada Sel Surya, Disertasi, ITB, Bandung.
- [2] Kabir, M.I., Nowshad Amin, Zaharim, A., Sopian, K., 2009, Effect of Energy Bandgap of the Amorphous Silicon-Carbide (a-SiC:H) Layers On A Si-Multijunction Solar Cells from Numerical Analysis, Proc.8<sup>th</sup> WSEAS Int. Conf. on NON-LINEAR ANALYSIS, NON-LINEAR SYSTEMS & CHAOS.
- [3] Cangwoo Lee, Harry, E., James, A.Raynold, and Pradeep Haldar, 2010, *Two-Dimensional Computer Modeling of Single Junction a-Si:H Solar Cells*, Photovoltaic Specialist Conference (PVSC).
- [4] Takahashi, K. and Konagai, M., 1986, Amorphous Silicon Solar Cells, North Oxford Academic Pub. Ltd., London.
- [5] Danielsson, E., 2000, FEMLAB Model Library for Semiconductor Device Model, The Royal Institute of Institute, Stockholm.
- [6] Kwok, K. Ng., 1995, Complete Guide to Semiconductor Devices, McGraw-Hill. Inc. United State of America.
- [7] Nigro, M.A., Cantore, F., Della Corte, F.G., Summonte, C., 2003, Amorphous Silicon Thin Film for All-Optical Micro Modulator, Proc. of SPIE, Vol 5116.
- [8] Persson, C.U., & Lindefelt, 1997, Dependence of Energy Gaps and Effectively Masses on Atomic Positions in Hexagonal SiC, J.Apply. Phys. 86, 11, 5036-5039.